

Кількість спермів (в млрд. в перерахунку на один еякулят), одержаних від бугая Мака до і після введення 8 титрованих одиниць АТЦС-ВРХ і від бугая Зальгота до і після введення 16 титрованих одиниць АТЦС-ВРХ.

Білий стовпчик — кількість спермів в одному еякуляті, заштрихований стовпчик — кількість активних спермів.

Отже, при ін'єкціях бугаем-плідникам АТЦС-ВРХ у малих дозах (кілька титрових одиниць) у двох бугай спостерігалось поліпшення показників спермопродукції тривалістю кілька тижнів. Дальша науково-дослідна робота повинна провадитись з метою пошуку оптимальних стимулюючих доз і схем ін'єкцій АТЦС-ВРХ, а також з метою розробки показань до застосування цього препарату.

Література

- Барченко Л. І.—Фізіол. журн. АН УРСР, 1964, X, 6, 720.
- Бейрах И. С., Рябов М. Х.—Пробл. эндокринол., 1939, IV, 1, 90.
- Викторов К. Р.—Цитотоксины и их знач. в зоотехнике, ветеринарии и медицине, Казань, 1946.
- Зеленская Т. М.—Влияние АОЦС и АТЦС на функции состояния и морфологическую структуру яичников и семенников крыс в возрастном аспекте. Автореф. дисс., К., 1967.
- Ницименко О. В.—Влияние иммунной АТЦС на мужские половые железы при нарушении их гормональной функции. Автореф. дисс., К., 1970.
- Рябов М. Х.—В сб.: Тез. докл. научн. конф. ВУЗов и научно-исслед. учрежд. Наркомсовхозов СССР, Пушкино, 1940, I.

Надійшла до редакції
2.X 1973 р.

МЕТОДИКА

УДК 612.014.001.8:311

ДОСВІД ЗАСТОСУВАННЯ МНОЖИННОГО КОРЕЛЯЦІЙНО-РЕГРЕСІЙНОГО АНАЛІЗУ У ФІЗІОЛОГІЧНИХ ДОСЛІДЖЕННЯХ

А. С. Павлов

Кафедра фізичного виховання Донецького медичного інституту

На сучасному етапі розвитку науки помітно розширилося застосування математичної статистики і електронно-обчислювальної техніки в біології і медицині при вивченні взаємозв'язків явищ або факторів.

Досить відомими є автокореляційний аналіз ритмів серцевих скорочень [5], кореляційний аналіз [1, 3], кроскореляційний аналіз [2], канонічні кореляції [9–11], факторний аналіз [6], факторний аналіз, центробійний метод і множинний регресійний аналіз [4], регресійний аналіз по головних компонентах [12] тощо.

В наших дослідженнях виникла необхідність порівняти динаміку змін багатьох функцій у різних за ступенем фізичного тренованості груп обслідувань при виконанні роботи «до відказу», тобто тривалість якої у кожного обслідуваного була різною. Для цієї мети було підібрано метод аналізу одержаного цифрового матеріалу [8], який раніше в основному застосовувався в економіці і гірничій справі. Всі розрахунки здійснено на ЕОМ «Мінськ-2» за програмою ПРА-3.

Методика дослідження

Кореляційно-регресійний аналіз являє собою інструмент, що дозволяє кількісно оцінювати зв'язки між величинами числом взаємодіючих явищ, ряд яких невідомий. Іого застосування робить можливим перевірку різних гіпотез про наявність і силу зв'язку між двома явищами або окремими явищем і групою явищ, а також гіпотези про форму зв'язку. Однак його результати не можна інтерпретувати в поняттях причинно-наслідкової термінології без попередніх припущень. Тільки після того, як такі припущення висунуто, множинний кореляційний і регресійний аналіз може підтвердити або спростувати їх і дати кількісні оцінки впливу різних факторів.

Для застосування названого методу необхідне виконання таких умов (передумов) щодо вихідних даних: 1) випадкові величини-фактори повинні розглядатися як вибірки з багатомірної генеральної сукупності, розподіленої нормально; 2) окремі спостереження повинні бути стихастично незалежними; 3) дисперсії величини Y (залежної змінної) повинні бути однорідними (дисперсії Y постійні при зміні X); 4) математичне очікування Y при X_1 , що набула першого значення, можна виразити у вигляді функції, лінійної відносно певних параметрів.

Результати дослідження

Як приклад використання множинного кореляційного і регресійного аналізу розглянемо встановлення кореляційного рівняння, що виражає залежність між фізіологічними функціями в лабораторному експерименті.

За допомогою стенд-тесту «до відказу» [8] досліджували загальну працездатність чотирьох груп обслідувань (студентів) віком 18–22 років: I група — неспортивні особи, які не займаються регулярно тренуванням м'язів; II — фізкультурники, студенти, які систематично відвідують заняття з фізичного виховання за програмою загальної фізподготовки; III — спортсмени-гімнасти, кандидати в майстри спорту; IV — спортсмени-боксери, кандидати в майстри спорту і першорозрядники. Під час роботи (через кожні 3 хв) реєстрували: ректальну температуру, частоту серцевих скорочень, оксигенацию крові, час сталої оксигенації крові (при гіпоксичній пробі із затримкою дихання на видуху), час кровотоку на відрізку легені — вухо.

Внаслідок того, що обслідувані мали істотні відмінності у функціональних можливостях, час виконання стенд-тесту «до відказу» коливався за індивідуальними даними від 6 до 39 хв і за середніми даними груп від $10,5 \pm 1,3$ до $33,5 \pm 1,4$ хв, а закінчення роботи

зумовлювалось різним ступенем фізіологічного напруження організму. Середні дані три валості роботи і фізіологічних зрушень в організмі на момент відмови від неї представлени в табл. 1.

У зв'язку з тим, що виконувана робота не була дозованою в часі, ми не були пра вомочні порівнювати фізіологічні зрушения в організмі обслідуваних у статиці, як це видно з табл. 1. Тому ставилось завдання встановити аналітичні взаємозв'язки між фізіологічними функціями в динаміці (тобто їх показниками на 3, 6, 9 і т. д. хвилинах реєстрації аж до припинення роботи), а також виявити найбільш впливовий фактор (серед вивчуваних), що обмежує виконання стенд-тесту.

Таблиця 1
Середні величини функціонального стану обслідуваних на момент відмови від роботи

Групи обслідуваних	<i>n</i>	Час роботи, у хв., <i>Y</i>	Фізіологічні зрушения на останній хвилині				
			Гіпертермія, в град., <i>X₁</i>	Частота пульсу, єд/хв., <i>X₂</i>	Оксигенация крові, в %, <i>X₃</i>	Час оксигеназії, в сек., <i>X₄</i>	Час кровотоку, в сек., <i>X₅</i>
Неспортсмени	18	10,5±1,3	0,8±0,1	183±3	89,2±1,6	4,1±0,2	3,8±0,3
Фізкультурники	18	23,6±2,2	1,5±0,2	195±3	86,7±2,0	3,1±0,3	3,8±0,2
Гімнасти	10	28,2±2,6	1,5±0,2	193±3	89,0±1,8	3,1±0,1	3,2±0,1
Боксери	12	33,5±1,4	1,4±0,1	177±6	88,0±2,0	2,9±0,2	3,0±0,1

При підготовці одержаного цифрового матеріалу до обробки на ЕОМ «Мінськ-2» за програмою ПРА-3 [7] у кожній групі обслідуваних вичікували показник (ряд цифр) було прийнято за *Y* (працездатність), а всі інші показники (ряди цифр) функціонального стану організму — за *X₁* — гіпертермія, *X₂* — частота пульсу, *X₃* — оксигенация крові, *X₄* — час сталої оксигеназії крові, *X₅* — час кровотоку.

Вихідні дані (*n*>330) на бланках розміщені в такому порядку: спочатку йдуть усі значення *Y* (залежної змінної), а потім значення всіх *X_i* — факторів-аргументів обслідуваних першої групи. Значення кожної нової змінної починаються після запису всіх значень попередньої змінної. Аналогічно заповнюються бланки масивів інших груп обслідуваних.

Таблиця 2
Характеристика зв'язку між працездатністю *Y* і фізіологічними функціями *X_i* в умовах виконання стенд-тесту до відмови

Групи обслідувань	Коефіцієнт множинної кореляції <i>R</i>	Часткові коефіцієнти детермінації					Множинні коефіцієнти детермінації		
		<i>d₁</i>	<i>d₂</i>	<i>d₃</i>	<i>d₄</i>	<i>d₅</i>	<i>D</i>	<i>D*</i>	
Неспортсмени	0,912	0,620	0,171	0,0005	0,051	0,001	0,847	0,832	
Фізкультурники	0,929	0,927	0,006	0,002	-0,059	-0,002	0,873	0,863	
Гімнасти	0,943	0,781	0,033	0,081	0,036	-0,030	0,902	0,890	
Боксери	0,988	0,981	-0,012	-0,009	-0,001	0,001	0,978	0,977	

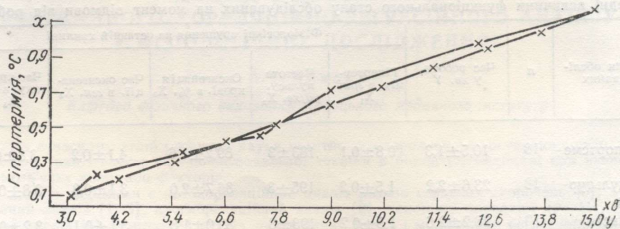
Попередній аналіз матеріалу показав, що згадані передумови застосування названого методу відповідають нашим вихідним даним. Матеріали були обчислені за ступеневою, прямолінійною, гіперболічною і параболічною залежностями. Внаслідок аналізу обрано пряму як найбільш підходящу. Дальший аналіз проводився на підставі даних прямолінійної залежності.

Встановлено, що у всіх чотирьох групах обслідуваних між тривалістю виконання стенд-тесту до відмови (*Y₁₋₄*) і вичікуваними фізіологічними зрушеннями (*X_i*) існує високий кореляційний зв'язок; коефіцієнти множинної кореляції (*R*) дорівнюють відповідно 0,912—0,929—0,943—0,988 (табл. 2).

Одержано також парні коефіцієнти кореляції *r*, часткові коефіцієнти кореляції вищого порядку *r'* і часткові коефіцієнти детермінації *d*. Парні коефіцієнти кореляції

показують ступінь тісноти зв'язку між явищами з умовою, що вони зв'язані з іншими явищами; часткові коефіцієнти детермінації оцінюють індивідуальний внесок кожного фактора в рівняння регресії. Вивчення часткових коефіцієнтів детермінації показало, що найбільший питомий вплив на працездатність серед усіх можливих факторів припадає на гіпертермію організму X_1 , на другому місці тахікардія X_2 , а найменший вплив здійснює час кровотоку X_5 (див. у табл. 2 відповідно d_1 , d_2 , d_3). Це підтвердилося згодом і при розгляді масштабових коефіцієнтів β рівняння регресії.

З допомогою часткових коефіцієнтів кореляції вищого порядку r' розкрито справжній зв'язок і взаємозв'язок окремих факторів (без затемнюючого впливу решти факторів) у всіх групах обслідувань. Так, одержано високі часткові коефіцієнти кореляції у всіх обслідуваннях між працездатністю і гіпертермією організму ($r'=0,843-0,856-0,870-$



Емпірична і теоретична лінії регресії, що показують взаємозв'язок гіпертермії організму неспортсменів з тривалістю виконання максимальної крокової проби.

0,983); крім того, у неспортсменів — між працездатністю і частотою пульсу ($r'=0,522$), у гімнастів і боксерів — між працездатністю і оксигенациєю крові ($r'=-0,527-0,406$).

Сума часткових коефіцієнтів детермінації дорівнює множинному коефіцієнту детермінації D. Коефіцієнт множинної детермінації характеризує питому вагу впливу на вичуваємий показник відібраних факторів X_1 серед усіх можливих факторів. У нашому випадку коефіцієнт множинної детермінації D, а також множинні коефіцієнти детермінації, скореговані на число степенів свободи D^* , мали дуже високі значення у всіх групах обслідувань (табл. 2).

Внаслідок множинного аналізу побудовано рівняння прямолінійної множинної регресії: $Y=b_0+b_1x_1+b_2x_2+b_3x_3+b_4x_4+b_5x_5$, де b_0 — вільний член рівняння, а b_i — коефіцієнти рівняння регресії в натуральних змінних. Формули рівнянь регресії виражають для кожної групи обслідувань закон залежності працездатності організму Y від гіпертермії X_1 , частоти пульсу X_2 , оксигенациї крові X_3 , часу сталої оксигенациї X_4 і часу кровотоку X_5 , що розвиваються при роботі.

Для оцінки адекватності одержаних рівнянь можна користуватися показником середньої помилки апроксимації E. Помилку апроксимації задає сам дослідник залежно від того, яка його властивує, наприклад, 5, 3, 10%, і цю величину беруть як критерій адекватності. Якщо знайдене значення E більше обраного, то побудоване рівняння регресії неадекватне, якщо E менше обраного — рівняння адекватне. Ми використали середньозважені помилки апроксимації E_2 , а також значення критерію Фішера F_1 , які в усіх випадках були $F_1 \gg 1,5$.

Наведений графічний аналіз парних регресійних зв'язків між Y і X_1 показав, що вичуваємий зв'язок (всього 76 графіків) носять в основному лінійний характер (див. рисунок).

Отже, внаслідок множинного кореляційного і регресійного аналізу одержано кількісне уявлення про взаємозв'язки фізіологічних зрушень в організмі при виконанні гравіто-циклическої роботи м'язів. З розвитком в організмі гіпертермії проявляється тенденція до зниження оксигенациї крові. Із збільшенням тривалості роботи спостерігається спад оксигенациї крові, почастішаши пульс, прискорення кровотоку, зменшення часу сталої оксигенациї крові при затримці дихання, але в різних групах обслідувань по-різному. Водночас, слід виділити: спортсмени (гімнасти і боксери) відмовлялись від виконання стенд-тесту через майже втріє довший час, ніж неспортсмени (див. табл. 1) і мали при цьому гіпертермію такої вираженості ($1,4-1,5^\circ$), яка в 1,5—2 рази перевищувала дані останих. Порівняльний аналіз часткових коефіцієнтів кореляції вищого порядку r' (див. вище) показав, що з підвищеним працездатністю Y збільшилась і тіснота її зв'язку з гіпертермією організму X_1 . Про це свідчать також часткові коефіцієнти детермінації d (табл. 2) і β -коефіцієнти рівняння регресії в стандартизованому масштабі. З цього мож-

на зробити висновок про те, що між тривалістю роботи — працездатністю і стійкістю організму до гіпертермії існує позитивний високий кореляційний зв'язок.

Дослідник, що готовиться до застосування багатомірного статистичного аналізу матеріалу, має заздалегідь ознайомитись з відповідною літературою.

В кожному конкретному випадку для вирішення питання про можливість і право-можність застосування описаного методу, перевірки відповідності необхідних умов перед-умов для його використання, а також дальшого розшифрування даних, віданих на друк, бажано консультуватися або безпосередньо допомога інженер-математика.

Висновки

1. Для порівняння фізіологічних зрушень в організмі у різних груп обслідувань, які виконують роботу «до відказу», тобто нерегламентовану в часі, доцільні вивчення динамік зміни вивчуваних функцій з допомогою множинного кореляційно-регресійного аналізу.

2. В умовах виконання граничної циклічної роботи м'язів на витривалість між фізичною працездатністю і стійкістю організму до ендогенної гіпертермії існує позитивний високий кореляційний зв'язок.

Література

1. Баевский Р. М., Волков Ю. Н., Ницеккер И. Г.— В кн.: Математич. методы анализа сердечн. ритма, М., 1968, 51.
2. Бутенко К. П., Демин Д. В., Одинцов А. П.— В кн.: Математич. методы анализа сердечн. ритма, М., 1968, 99.
3. Вентцель М. Д., Воскресенский А. Д., Чехонадский И. А.— В кн.: Математич. методы анализа сердечного ритма, М., 1968, 69.
4. Верхощанский Ю. Г.— Теория и практика физич. культуры, 1971, 9.
5. Зациорский В. М., Сарсания С. К.— В кн.: Математич. методы анализа сердечн. ритма, М., 1968, 31.
6. Зациорский В. М.— Кибернетика, математика, спорт. М., ФиС, 1969.
7. Озерова А. С. (под ред.)— Пособие по примен. корреляц. и регресс. анализа при решении инжен. и эконом. задач в горном деле, Донецк, 1970.
8. Павлов А. С., Палагута М. К., Митрофанова Т. А.— Примен. многокорр. и регресс. анализа с графич. изобр. в физиол. исслед. Рац. предл. Уд. № 741, Донецкий мед. ин-т 24.VI 1972 г.
9. Anderson T., Rubin H.— Proc. 3-d Berkley Symp. on Mathem. Statistics, 1956, 5, 11.
10. Hotelling H.— J. Educ. Psychol., 1935, 26, 139.
11. Hotelling H.— Biometrika, 1936, 28, 329.
12. Rao R.— Indian J. of Statistics, 1964, 26, 4.

Надійшла до редакції
24.III 1974 р.

УДК 612.212.014.462.8—08:616—092

ДО МЕТОДИКИ ВИЗНАЧЕННЯ ПОВЕРХНЕВОЇ АКТИВНОСТІ ЕКСТРАКТИВ З ТКАНИНИ ЛЕГЕНЬ

Е. В. Бюль

Кафедра патологічної фізіології Карагандинського медичного інституту

В дослідженнях останніх 10—15 років доведене істотне значення поверхневої вистилки альвеол (серфактанта) для дихальної механіки та інших функцій легень [4, 8, 9, 13, 15]. Встановлено також, що порушення властивостей цієї важливої складової частини легеневої тканини має тісне відношення до розвитку різних форм патології легень [7, 10—12, 14]. Водночас у фізіології і патології поверхневої вистилки альвеол залишається ще багато нерозв'язаних питань, і немає повної ясності у виборі методів та умов дослідження серфактанта.

У вітчизняній літературі всі ці питання висвітлені в невеликій кількості праць і дуже повно. В зв'язку з цим актуальним залишається питання про методи визначення легеневої тензіоактивної речовини.

Розроблено кілька способів вивчення серфактанта. Одним з них є встановлення співвідношення об'єму цілих легень з величиною тиску повітря, введеного в дихальні

улях [8]. Розроблено [13] метод визначення серфактантів за стабільністю пухирців, які виникають з шматочка легені у краплі рідини і повторно вимірюють під мікроскопом. З морфологічних методів найбільш достовірним вважають вивчення ерізів легені шляхом ломінестентного мікроскопії [10]. Нарешті, для вимірювання поверхневого натягу екстрактів або змін в легені можуть бути використані фізичні методи визначення поверхневого натягу рідин. Цими методами вивчають основну властивість серфактантів, притаманну всім поверхневоактивним речовинам,— здатність знижувати поверхневий натяг гіпофазі. Слід, проте, мати на увазі, що для чистих рідин значення поверхневого натягу, визначені різними методами, мають розбіжності тільки в межах похибки вимірювання, тоді як для розчинів поверхневоактивних речовин ці значення можуть істотно

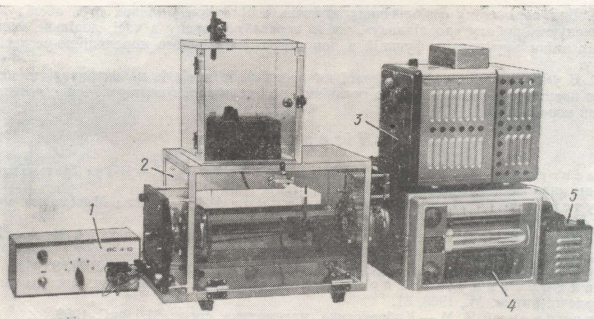


Рис. 1. Установка для вивчення поверхневих властивостей серфактантів.
1 — випрямляч ВС 4-12; 2 — модифікована вага Вільгельмі-Ленгмора; 3 — підсилювач Ф359; 4 — самопищучий двохкоординатний міліамперметр Н359; 5 — стабілізатор напруги Н359.

відрізнятися. Пояснюється це, переважно, тим, що встановлення адсорбційної рівноваги в поверхневому шарі розину розтягнуто в часі. Безумовно, ця обставина має врахуватися при виборі методу вимірювання поверхневого натягу легеневих екстрактів, оскільки серфактант є сильною поверхневоактивною речовиною.

В нашій лабораторії були використані всі згадані способи вивчення поверхневоактивної вистилки альвеол [2, 3]. Гадаємо, що для дальших досліджень особливо слід рекомендувати вимірювання поверхневого натягу легеневих екстрактів методом урівноваження тонкої вертикальної пластинки. Цей метод, добре вивчений і може бути застосований для вивчення залежності поверхневого натягу екстрактів з легені від площини поверхні з допомогою так званої ваги Вільгельмі-Ленгмора [1, 5, 6, 8, 9].

Запропоновані установка для вивчення поверхневих властивостей легеневих екстрактів (рис. 1), основними частинами якої є самопищучий двохкоординатний міліамперметр постійного струму, компенсаційний підсилювач і модифіковані нами ваги Вільгельмі-Ленгмора (рис. 2), вигідно відрізняються від описаного Несторовим та ін. [5] пристроя для вимірювання поверхневого натягу екстрактів легені тим, що дозволяє вести безперервну автоматичну реєстрацію залежності поверхневого натягу від площини поверхні. Як реєструючий пристрій нами застосований двохкоординатний самописець, а не двопроменевий осцилограф [6], оскільки це значно спрощує процес обробки одержаних результатів.

Принцип пристроя і методика роботи на запропонованій установці. Кювету з фотопласти (7) доверху заповнюють екстрактом або змівом з легені і залишають на деякий час для встановлення рівноважного стану адсорбційного шару. Потім з допомогою механізму вертикального переміщення (18) пластину пластинку (12), підвішено до чутливої кварцевої спіралі (16), плавно підводять до поверхні рідини. Оскільки крайовий кут змочування на металевих пластинках дорівнює нулью, то зусилля втягування пластинки рідиною, перетворення індуктивним датчиком (17) на електричний сигнал, який подається через підсилювач на вісь U двохкоординатного самописця, визначає величину статичного поверхневого натягу. Застосований нами індуктивний датчик малих переміщень соленоїдного типу складається з генератора високої частоти, зібраниого по двотактній схемі на транзисторах КТ315Б, та вимірювального пристроя, на який коливання ви-

Д
—
се
ст
ві
ві

віс
під
1,9
під
нес
за
лів

сокі частоти подаються через високочастотний трансформатор. Лінійність характеристики датчика забезпечується в межах переміщень до 20 м.м.

Калібрування сигналу здійснюється з допомогою еталонних тягарців і рідин з відомим поверхневим натягом. Калібрувальний графік дає можливість визначити чутливість установки, яка при постійних розмірах платинової пластинки визначається чутли-

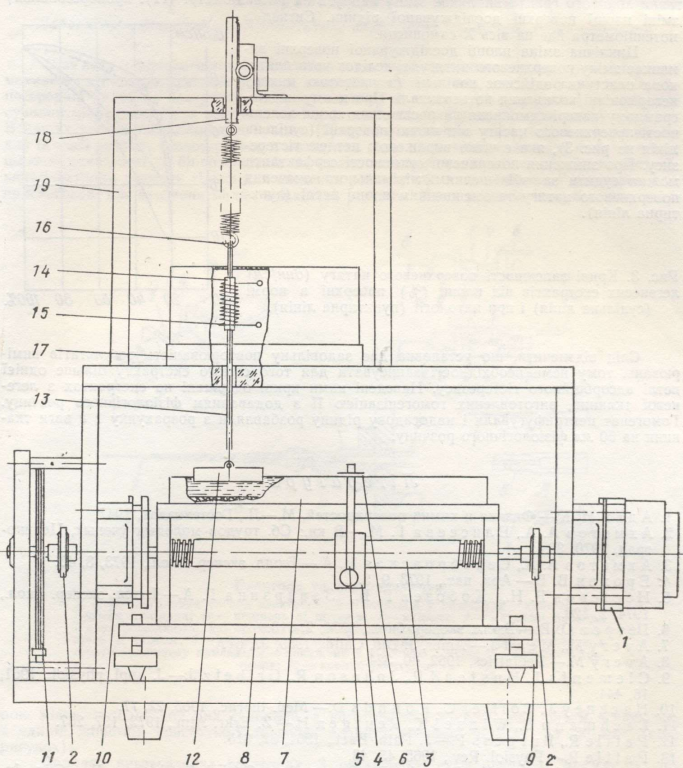


Рис. 2. Схема модифікаційної ваги Вільгельмі-Ленгмюра.

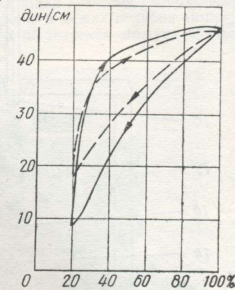
1 — реверсивний двигун; 2 — сполучні муфти; 3 — ходовий гвинт; 4 — гейка; 5 — говкач бар'єр; 6 — бар'єр; 7 — ковета; 8 — столик; 9 — установочний гвинт; 10 — редуктор; 11 — потенціометр; 12 — платинова пластина; 13 — скляний стержень; 14 — латунна трубка; 15 — соленоїд; 16 — кварцована спіраль; 17 — індуктивний датчик; 18 — механізм вертикального переміщення; 19 — корпус.

вістю кварцової спіралі та індуктивного датчика, а також значною мірою коефіцієнтом підсилення, заданим на підсилювачі. При виконанні вимірювань з пластинкою розміром $1,90 \times 0,01$ см і кварцовою спіраллю з модулем пружності 294 дин/см при коефіцієнти підсилення $k=300$, чутливість описаної нами установки становить $2,15 \text{ м.м}\cdot\text{дин}^{-1}\cdot\text{см}$. При необхідності робочі параметри установки можна змінювати в широких межах, переважно за рахунок застосування спіралі з різними пружними властивостями і використання можливостей компенсаційного підсилювача.

Для одержання залежності між поверхневим натягом досліджуваної рідини і площею поверхні включають реверсивний двигун (1), який через ходовий гвинт (3), гайку (4) і штовхачі (5) приводить у рух бар'єр (6), розташований на бортах кювети. При цьому площа поверхневої плівки спочатку зменшується до 20% і потім знову збільшується до вихідного значення (100%). Тривалість одного циклу становить 6 хв. Обертання ходового гвинта викликає зміну напруги на потенціометрі (11), пропорціональну зміні площи поверхні досліджуваної рідини. Сигнал з потенціометра іде на вісь X самописця.

Циклична зміна площі досліджуваної поверхні викликає зміну поверхневого натягу, внаслідок чого пластина пластинка здійснює повільні (з частотою циклу) негармонічні коливання по вертикалі. При цьому на діаграмному папері самописця викresлюється крива залежності поверхневого натягу від площі поверхні (сузільна лінія на рис. 3), яка є чітко вираженою петлею гістерезису. Про зниження поверхневої активності серфактанта можна судити за збільшенням мінімального значення поверхневого натягу та зменшеннем площин петлі (пунктирна лінія).

Рис. 3. Криві залежності поверхневого натягу ($\text{дин}/\text{см}$) легеневих екстрактів від площі (%) поверхні в нормі (сузільна лінія) і при патології (пунктирна лінія).



Слід відзначити, що установка дає задовільну повторюваність результатів вимірювань, тому нема необхідності записувати для того самого екстракту більше однієї петлі адсорбційного гістерезису. Наведені нами криві одержані на екстрактах з легеневої тканини, виготовлених гомогенізацією її з додаванням фізіологічного розчину. Гомогенат центрифугували і надосадову рідину розбавляли з розрахунку 1 г ваги тканини на 50 мл фізіологічного розчину.

Література

- Адам Н. К.—Физика и химия поверхностей, М.—Л., Гостехиздат, 1947.
- Ахметов А. А., Елисеева Г. М.—В кн.: Сб. трудов молодых ученых, Целиноград, 1970, 39.
- Ахметов А. А., Серебровская И. А.—Бюлл. экспер. биол., 1973, 8, 40.
- Ерохин В. В.—Арх. пат., 1973, 9, 3.
- Нестеров Е. Н., Кобозев Г. В., Заварзина Г. А.—Бюлл. экспер. биол., 1974, 2, 120.
- Петров О. В.—Бюлл. экспер. биол., 1974, 2, 118.
- Aveug M., Mead J.—Amcr. J. Dis. Child., 1959, 97, 517.
- Aveug M.—Pediatrics, 1962, 30, 324.
- Clemente J., Hustead R., Johnson R., Gribetz J.—J. appl. physiol., 1961, 16, 444.
- Haskney J., Collier C., Rounds D.—Med. thorac., 1965, 22, 77.
- Lachmann B., Winsel K., Reutgen H.—Z. Erkr. Atm., 1972, 137, 267.
- Pattle R., Burgess F.—J. Path. Bact., 1961, 82, 315.
- Pattle R.—Physiol. Rev., 1965, 45, 48.
- Said S., Avery M., Davis R., Banerjee C., El-Gohary M.—Clin. Invest., 1965, 44, 458.
- Scarpelli E.—The Surfactant System of the Lung. Philadelphia, 1968.

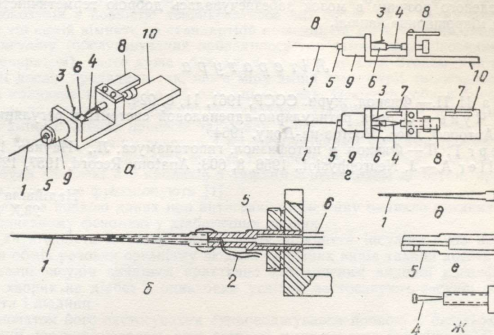
Надійшла до редакції
10.XI 1974 р.

МЕТОДИКА ВИГОТОВЛЕННЯ УНІВЕРСАЛЬНОГО ЕЛЕКТРОДА З МІКРОШПРИЦЕМ

А. М. Коробіцин, Чжан Чунь

Лабораторія електрофізіології Інституту акушерства і педіатрії, Ростов-на-Дону

У зв'язку з фізіологічною особливістю гемато-енцефалічного бар'єра для з'ясування механізму дії деяких хімічних речовин, зокрема, катехоламінів, необхідно вивчати їх безпосередній вплив на центральну нервову систему. В літературі є відомості щодо застосування мікроканюлі для введення хімічних подразників у різні ділянки мозку [1, 3, 4]. В наших раніше опублікованих працях [2] були застосовані універсальні електроди як для ін'єкції розчину безпосередньо в мозок, так і для визначення стану цих пунктів мозку шляхом реєстрації їх біопотенціалів на пряме електричне подразнення. Проте застосовані електроди служать тільки для введення розчину або надто великі за діаметром і не пристосовані для введення малих кількостей розчинів. Нами розроблений електрод, знач-



a, b, c — загальний вигляд електрода; б — електрод у розрізі; в — канюль; в — держак циліндра; ж — поршень зі штоком; 1 — канюль; 2 — металеві проводи електроізоляцією, які проходять у канюлю; 3 — електричне розняття; 4 — поршень зі стоком; 5 — держак циліндра; 6 — циліндр; 7 — паз для кріплення в стереотаксичному приладі; 8 — покажчик з візорною лінією; 9 — захисний ковпачок; 10 — корпус електрода.

ною мірою позбавлений цих недоліків, а виготовлення мікрошприца разом з канюлем в єдиний жорсткий конструкції дозволяє вводити розчині від 0,2 до 30 мк³ (див. рисунок).

Порядок виготовлення електрода. З органічного скла розміром 20×23×100 мк виплилюють конус електрода. По одній осі свердлять отвори і нарізають різбу в передньому стояку М-5 під держак циліндра, а в середньому стояку М-4 під шток. Зверху середнього стояка свердлять два отвори і нарізають різбу М-3 для кріплення показника. З одного з боків корпуса електрода прорізають пази для кріплення його в стереотаксичному приладі. Складності виготовлення циліндра з гладкими стінками достатньої жорсткості і дякою еластичності спонукали нас використати для цього стержень шарикової авторучки. Цей циліндр запресовується у виточений з органічного скла держак циліндра, який щільно закручується в передню стійку корпуса електрода. В середню стійку закручується виготовлений з нержавіючої сталі шток з поршнем. Головка штоку виточується окрім інагинчутається на нього. На головку напесено 18 поділок по 0,2 мк³. Для уникнення зміщення електрода введення розчину здійснюється викруткою через проріз у штоку.

З скляної трубки діаметром 0,5 мм витягуються канюля довжиною 30 мм і діаметром 50—200 мк. Перед введеним мікропроводу в канюлю склоізоляцію перевіряють на відсутність мікротріщин. Ця перевірка здійснюється в дистильованій воді з кількома

краплями спиртового розчину фенолфталеїну. При підключені до мікропроводу негативного полоса, а до розчину — позитивного через мікротріщину починають виділятися пухирі газу, що свідчить про наявність тріщин.

Бажання позбавитися від ізоляційних лаків, а значить і їх впливу на досліджувані нервові клітини спонукало нас до введення мікропроводу в канюлю. Це введення досить складне і здійснюється так: канюлю закріплюється пластіліном на підставці під мікроскопом МБС і через її товстий кінець, стискаючи провід якомога ближче до канюлю, вказівними пальцями обох рук починають витовчувати провід у канюлю. Після виходу проводу з іншого кінця канюлю товстий кінець й вводять в отвір держака циліндра і через боковий отвір у ньому, намагаючись не пошкодити ізоляцію, провід ключом витягують зовні і припають до розняття. Місце з'єднання канюлю з держаком циліндра і боковий отвір заплавляють термопластичною відбітковою масою № 3, застосуваною в стоматології. На різбу нагиняється захисний ковпачок, і електрод перевіряють. Отже, застосування такого універсального електрода дозволило нам реєструвати зміну функціонального стану нервових клітин під кінчиками електродів на відстані 50–100 мк при безпосередньому впливі введених через мікроканюлю 0,0002 мл катехоламінів з мінімальним зруйнуванням мозкової тканини. Визначення функціонального стану здійснювалось записом біопотенціалів і порогової реакції на електричне подразнення з допомогою проводів, що проходять всередині канюлю. Висока надійність проникнення малої кількості введеного розчину в мозок забезпечувалась доброю герметичністю і жорсткістю систем мікроширика-канюлю.

Література

1. Анохіна И. П.—Физiol. журн. ССР, 1961, 11, 8, 924.
2. Чжань Чунь—О роли ретикулярно-адреналіновой системы в регуляции кровообращения. Автореф. дисс., Ростов-на-Дону, 1964.
3. Шрейберг Г. Л.—Физiol. и патофизiol. гипоталамуса, Л., «Наука», 1966, 30.
4. Rothbäller A.—J. Neurophysiol., 1956, 8, 603; Anatom. Record, 1957, 127, 2, 395.

Надійшла до редакції
23.X 1974 р.